

粘性의 影響을 考慮한 船用 TP620 翼型의 翼特性 研究

金 時 榮*

Viscous Effects on the Characteristics of TP620 Hydrofoil

Si-Young KIM*

In this paper, the author investigate viscous effects on the characteristics of TP620 hydrofoil.

The pressure distribution on the foil section in non-cavitating flow should be considered its characteristics of displacement thickness due to viscous effects. Theoretical potential theory, which neglects viscous effects do not agree with this analysis, especially at leading edge region of the foil. And, the efficiency of TP620 hydrofoil considering viscous effects is a little lower than that of the foil, which neglected viscous effects.

序 論

2次元 翼型의 流動場에 대한 研究는 여러가지^{1), 2), 3)}가 있지만 이들은 모두 線形理論으로서 「翼型前緣으로부터 剥離가 發生한다.」고 假定하지 않으면 翼型前緣에서 壓力이 無限大로 크게 發散한다는 不合理性이 있었다.

그리고, 非線形理論으로서 山崎⁴⁾ 및 西山등의 方法이 있지만 이들은 모두가 境界層두께를 0으로 하는 境界條件을 주고 있으므로 實測值와의 오차가 있었다.

또한 最近에 山口⁵⁾의 Potential 理論⁷⁾에서는 實測值를 充分히 說明할 수 없는 경우가 많다. 또 Arakeri⁸⁾는 半球形의 物體에 대해 Potential 流動을 粘性에 依한 境界層을 假定하고 그의 影響을 考慮했을 경우에 좀더 實測值에 接근시킬수 있음을 報告하고 있다.

그리고, 이들을 바탕으로 前報⁹⁾에서 potential 理論에 依해 解析된 船用 TP620翼型에 대하여 potential 流의 非cavitation 狀態에서 粘性의 效果에 依한 境界層의 特性値들을 調査한 結果 流動에 影響을 끼치는 것을 알았다. 그래서 本論文에서는 前報와 같은 狀態에서 粘性의 效果에 依한 境界層 形成으로 排除 두께가 存在하므로 原翼型은 看보기 斷面의 사실상

두꺼워져서 이것으로 因하여 翼型의 性能에 어느정도 影響을 끼치는가에 대한 翼型의 特性値들을 調査하였다.

計 算 法

1. 座標系 및 主流速 分布

2次元 定常流 및 非cavitation 狀態를 假定하고 Fig. 1과 같이 翼의 首尾線에 x 軸 그것에 수직으로 y 軸을 取하고 翼 前後緣의 x 座標를 각각 0, 1로 하였다.

그리고 均一流 U_∞ 는 x 軸에 α 의 角度로써 流入하여 翼 주위를 돌아서 後緣으로 흘러가며 빛금과 같이 potential 流의 粘性效果에 依해서 境界層이 생기고

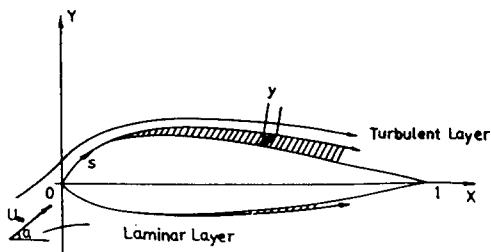


Fig. 1. Coordinate system and boundary layer Model.

* 釜山水產大學: National Fisheries University of Pusan

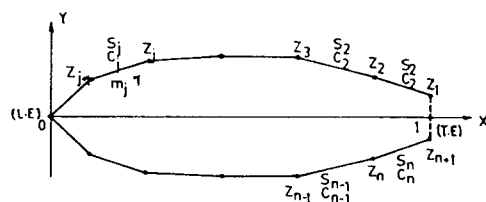


Fig. 2. Discretization of boundary.

前縁으로부터의 좌표를 s 라 하면 s 의變化에 따라層流가 亂流로遷移한다고假定한다.

그리고 解析을 위하여 境界를 Fig. 2와 같이 翼後緣上面→前緣→翼後緣下面의順으로 n 個의線分으로分割하고各線分의中點에湧出分布 m_j , 均一渦分布 γ 를分布시키면翼表面任意의點 z 에 있어서復素共役速度 $w(z)$ 는 다음과 같이表示된다.

$$w(z) = U_\infty e^{-iz} + \frac{1}{2\pi} \sum_{j=1}^n m_j \frac{|s_j|}{s_j} I_n \frac{z-z_j}{z-z_{j+1}} + \frac{r}{2\pi} \sum_{j=1}^n \frac{|s_j|}{s_j} I_n \frac{z-z_j}{z-z_{j+1}} \quad (1)$$

2. 境界條件^⑥

境界條件으로서以下の 것을 생각하고各線分의中點 c_j 에서境界條件式을 만족토록 한다.

(i) 接線流條件

翼表面에서流線의方向과分割한線分의direction이一致한다. 그리고初期에서는粘性의影響이無視된狀態, 다음은 이를考慮한狀態에서翼의겉보기두께의分割面을 따라만족토록한다.

즉,

$$I_m\{w(c_j) \times s_j\} = 0 \quad (2)$$

(ii) Kutta의流出條件

翼後緣部分에서는 이를 둘러싸는上下面의2點에서流速은같다.

初期에서는粘性의影響이무시된狀態에서原翼型의마지막要素의中點, 그리고粘性의考慮된狀態는排除두께를補正한끝의翼要素中點에서다음式이各各만족토록한다. 즉,

$$-R_e\{w(c_1) \times s_1 / |s_1|\} = R_e\{w(c_n) \times s_n / |s_n|\} \quad (3)$$

3. 層流境界層의排除두께^⑩

層流部分에서排除두께 δ^* 는層流境界層의形成에依해流速變化에 대하여流體의量이主流測에排除

되므로 그量이非粘性流體에대한翼表面으로부터排除두께 δ^* 내에 있는流量 $U_e \delta^*$ 와 같다고 보면

$$\delta^* = \frac{1}{U_e} \int_0^\infty (U_e - u) dy = \int_0^\infty \left(1 - \frac{u}{U_e}\right) dy = \theta H(K_1) \quad (4)$$

이 된다. 그리고 여기서

$$H(K_1) = \begin{cases} 2.61 - 3.75K_1 + 5.24K_1^2 (K_1 > 0) \\ 0.9731/(0.4 + K_1) + 2.088 (K_1 < 0) \end{cases} \quad (5-a)$$

$$K_1 = \frac{\theta^2}{v} \frac{dU_e}{ds}, \quad \theta^2 = 0.45v U_e^{-6} \int_0^s U_e^5 ds \quad (5-b)$$

이다.

이렇게하여計算된排除두께 δ^* 를原翼型에그두께를補正하여다시式(1)및境界條件을만족토록걸보기翼表面의主流速을구한다.

4. 層流剝離 및 亂流遷移點^{11), 12)}

層流剝離는 $K_1 = -0.09$ 에서생긴다. 그리고천이점은다음의判定式을써서 s 의位置를구한다.

$$R_\theta = 1,174 \{1 + (22400/R_s)\} R_s^{0.46} \quad (6-a)$$

단,

$$R_\theta = \frac{U_e \theta}{v}, \quad R_s = \frac{U_e s}{v} \quad (6-b)$$

遷移點에달하면이점의첨자를(tr)로붙여서그位置로부터亂流로移行해서다음式으로接續시킨다.

$$\theta = \theta_{tr}, \quad H_t = H_{tr} - \Delta H \quad (6-c)$$

단,

$$\Delta H = 0.785 + 0.14 \log_{10}(R_{\theta tr}) - 0.005 \{\log_{10}(R_{\theta tr})\}^2 \quad (6-d)$$

5. 亂流境界層의排除두께¹¹⁾

亂流境界層의計算은Head의方法에의해다음式으로부터구했다.

$$\frac{d\theta_t}{ds} + (H_t + 2) \frac{\theta_t}{U_e} \frac{dU_e}{ds} = \frac{C_f t}{2} \quad (7-a)$$

$$\frac{1}{U_e} \frac{d}{ds} (U_e \theta_t H_t) = F(H_t) \quad (7-b)$$

단,

$$F(H_t) = 0.0306(H_t - 3.0)^{-0.6169} \quad (7-c)$$

$$H_t = \begin{cases} 0.8234(H_t - 1.1)^{-1.287} + 3.3(H_t < 1.6) \\ 1.5501(H_t - 0.678)^{-3.064} + 3.3(H_t > 1.6) \end{cases} \quad (7-d)$$

$$C_f t = 0.246 \cdot 10^{-0.678} H_t R_\theta^{-0.263} \quad (7-e)$$

윗式에依하여任意의點 $s = s^{(n)}$ 에있어서겉보기翼두께에 대하여運動量두께 θ 및形狀係數 H_t^n 을 ds 만큼증분해가면서반복으로計算하여亂流境界層의排除두께 $\delta^* = H_t^n \theta_t^n$ 의값을천이점으로부터翼後緣

粘性의 影響을 考慮한 船用 TP620 翼型의 翼特性 研究

까지 計算을 行한다.

6. 揚力 및 抗力⁶⁾

겉보기 翼表面에 따른 座標와 壓力係数를 s 및 $C_p(s)$ 라 하면 揚力係数 C_L 및 抗力係数 C_D 는

$$C_L = \frac{1}{C} \int C_p(s) \cos(x, s) ds = \frac{1}{C} \int C_p(s) dx \quad (8-a)$$

$$C_D = \frac{1}{C} \int C_p(s) \sin(x, s) ds = 2 \frac{\delta_{2i}}{C} \quad (8-b)$$

으로서 計算할 수 있다.

計算結果 및 考察

船用翼型의 效率에 대해서는 potential 流動이나 아주 高速의 流速度인 경우 粘性의 影響이 커서 이를 考慮했을 경우는 實測值와의 차이를 갖게된다.

Fig. 3은 迎角이 0.7° , 1.7° , 2.7° 일 경우에 翼正壓力面에 생기는 排除 두께 δ^* 을 表示한 것이다. 層流部分에서 前緣으로부터 亂流部分의 後緣으로 갈수록 그 量은 증가하여 特히 천이점部分에서 層流剥離 및 亂流遷移함에 따라 두께의 不連續이 생기고 特히 後緣部分에서 그 두께가 옅려 있음을 알 수 있다. 이는 粘性에 依한 겉보기 두께가 사실상 증가해 있으며 不連續點에서는 速度구배가 0인 것을 알 수 있다. 粘性의 영향이 速度감소에 依해 壓力회복이 크게 作用함을 알 수 있다. 그리고 排除두께는 迎角과 더불어 증가하는 경향을 보이고 있다.

또 Fig. 4, 5, 6은 각각의 迎角의 變化에 따른 排除두께를 考慮했을 경우의 排除두께 外緣의 主流速에 依한 壓力과 potential 流動에 依한主流速과의 比

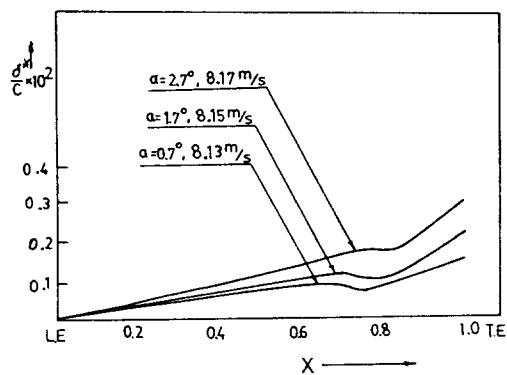


Fig. 3. Sample of displacement-thickness of blade section due to viscous flow ($r/R=0.7$, TP620).

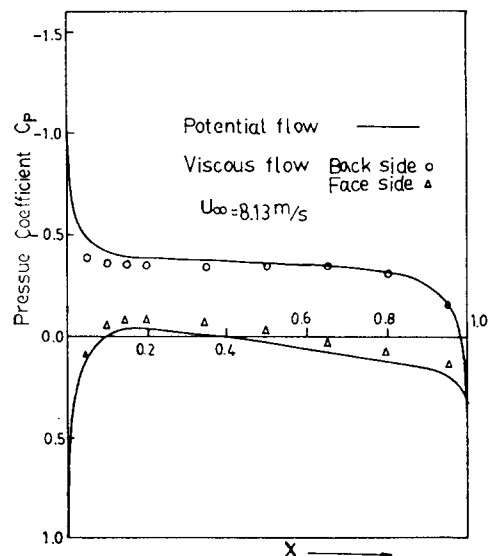


Fig. 4. Pressure distribution in noncavitating condition ($\alpha=0.7^\circ$, $r/R=0.7$, TP620).

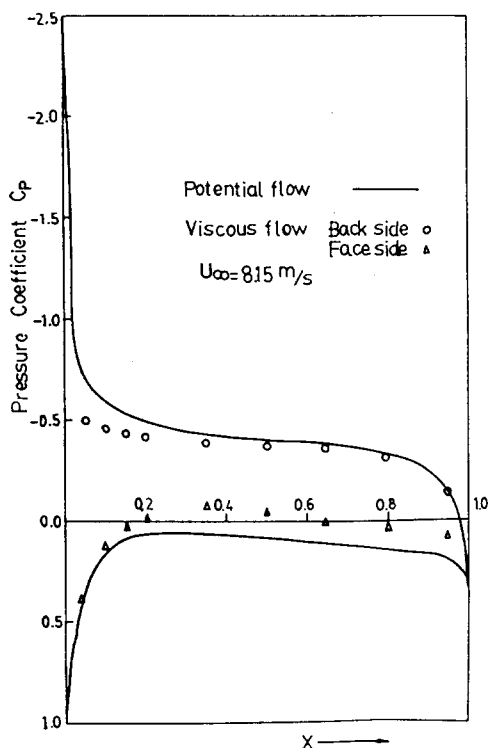


Fig. 5. Pressure distribution in noncavitating condition ($\alpha=1.7^\circ$, $r/R=0.7$, TP620).

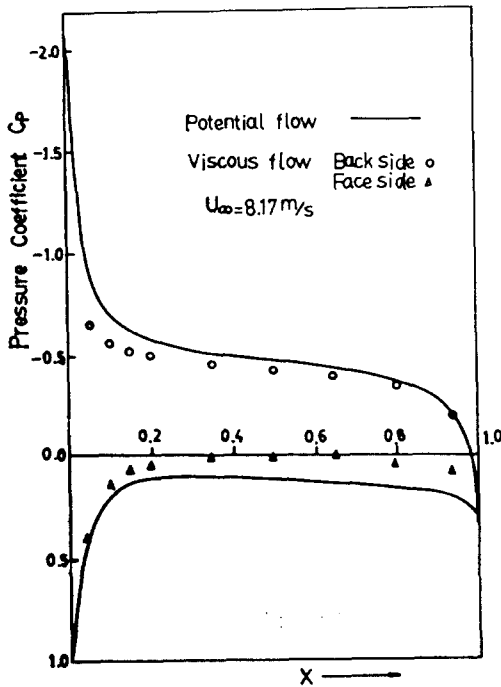


Fig. 6. Pressure distribution in noncavitating condition ($\alpha=2.7^\circ$, $r/R=0.7$, TP620).

較를 나타내고 있다. 壓力分布曲선은 排除두께를考慮한 쪽이 그로 因하여 速度分布가 다소 감소하고 있음을 알 수 있고 後緣部分근방에서는 그 값이 평坦하고 排除두께에 依한 粘性의 效果가 翼의 前方으로 신장되어 있음을 알 수 있고 翼의 前緣部에서 그分布가 potential 流에서는 負의 ピーク를 갖고 있으나粘性流에서는 나타나지 않는것은 그 영향으로 因하여 效果가 前緣에 까지 미침을 알수 있다.

그리고 Fig. 7은 速度分布에 依한 正面運動量 두께의 變化를 迎角에 대하여 翼弦長에 따라 그 값의 分布경향을 나타내고 있다. 여기서 翼前緣部에서는 排除두께가 많아 그 값이 작으나 천이점 부근을 지나서 後緣으로 갈수록 翼表面의 排除두께증가 및 겉보기 翼두께 變化에 依하여 壓力회복 및 速度감소로 그 값이 급격히 증가함을 알 수 있고 그 증가 경향은 層流域보다 亂流域이 크고 α 의 증가에 비례하였으며 천이점은 迎角이 클수록 翼前緣으로 移動하는 경향을 보였다.

그리고, Fig. 8 및 9는 주어진 迎角에서 翼迎角에 따른 揚力 및 抗力의 變化를 나타낸 것으로 potential 流動 및 排除두께를 고려했을 때 서로 그 값을 비교

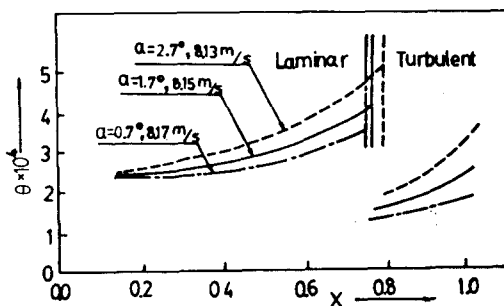


Fig. 7. Modified momentum thickness due to viscous effects ($r/R=0.7$, TP620).

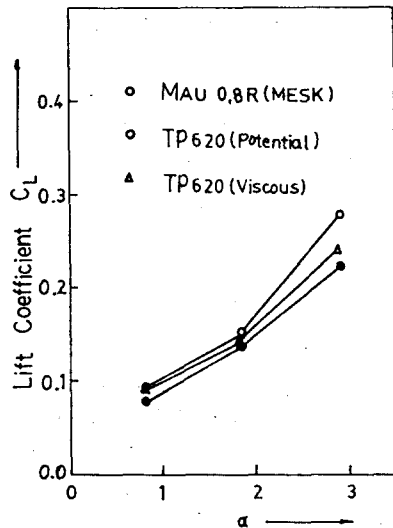


Fig. 8. Variation of lift coefficient due to attack angle.

하였다. 즉, 排除두께를 考慮했을 경우가 揚力에서는 potential 流 보다 다소 감소하였으며 抗力에서는 그 값이 다소 증가해 있음을 알 수 있다. 이는 粘性效果에 依한 排除두께의 영향이 있음을 알 수 있다. 그리고 이 값이 camber의 變化가 심한 後緣부부근에서 약간 차이를 보이며 前緣의 부근에서는 거의 없었다. 이 特性은 前緣에서는 粘性의 영향에 依한 排除두께의 生成이 없고 後緣에서는 排除두께가 증가해도 차이가 없는 것은 亂流가 burst 流動으로서 壓力에 크게 영향이 없음을 알 수 있다. 그리고 迎角의 變化에 대하여 그 값의 차이가 다소 있으므로 此 사실은 翼性能의 감소가 있음을 알 수 있다.

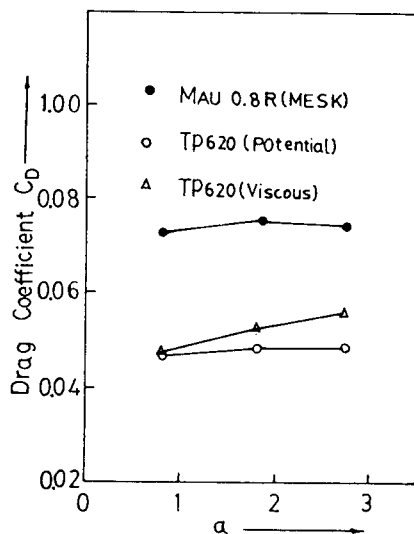


Fig. 9. Variation of drag coefficient due to attack angle.

要 約

以上으로부터 非cavitation 定常状態인 船用 TP620 翼型의 粘性의 영향에 의한 排除두께를考慮했을 경우의 翼特性을 要約하면 다음과 같다.

1. 粘性의 영향에 依한 壓力分布는 前緣部分에서는 負壓의 피크가 사라지고 後緣部에서는 겉보기 翼 두께 生成에 依해서 potential 流動의 相似形을 보이는 것은 burst 流動으로 後緣部分 流動에 큰 영향이 없음을 알 수 있다.

2. 排除두께 및 運動量두께는 層流部分보다 亂流부 分의 증가비율이 크고 速度子배가 0인 천이점부근에서 不連續으로 因해 粘性力에 依한 初生 cavity의 存在 可能성을 排除두께 및 運動量두께 分布로부터 알 수 있다.

3. 粘性에 依한 排除두께의 生成으로 原翼型의 断面은 사실상 증가하며 이를 考慮한 경우 翼性能이 약간 감소했다.

参 考 文 献

1. Geurst, J. A. (1959): Linearized theory for partially cavitating hydrofoils. Int. Shipbuilding progress, Vol. 6, No. 60, 369-384.
2. 花岡達郎(1966): 任意翼型のキャビテーション流場の線形理論(その3. 部分空洞の解法). 日本造船學會論文集, Vol. 119, 18-28.
3. 西山哲郎・伊藤惇(1977): 特異點法による部分空どう翼の流れ場の基礎式とその解法(第1報, 二次元單獨翼). 日本機械學會論文集(第2部), Vol. 43, No. 370, 2165-2174.
4. 山崎正三郎・高橋通郎(1979): 特異點法を用いた二次元厚翼の部分空洞の解法. 日本造船學會論文集, Vol. 146, 112-118.
5. 西山哲郎・伊藤惇(1981): 特異點法による部分空どう翼の流れ場の基礎式とその解法(第5報, 反りおよび厚みの大きい單獨翼). 日本機械學會論文集(B編), Vol. 47, No. 424, 2229-2234.
6. 山口一(1983): 耐キャビテーション性能の優れた翼型の開発. 日本造船學會論文集, Vol. 154, 102-108.
7. Hess, J. L. and A. M. O. Smith (1966): Calculation of potential flow about arbitrary bodies. Progress in Aeronautical, Vol. 8, 120-155.
8. Arakeri, V. H. and A. J. Acosta, (1973): Viscous effects in the inception of cavitation on axisymmetric bodies. J. Fluid Engineering, Trans. of ASME, Vol. 95, 519-527.
9. 徐奉錄・金時榮(1985): 定常状態인 船用 TP620 翼型의 境界層特性研究. 韓國船用機關學會 秋季學術發表 論文抄錄集, 66-71.
10. 上田耕平(1984): 定常状態のプロペラに及ぼす粘性の影響(1). 西部造船學會報, 第69號, 57-78.
11. 生井武文・井上雅弘(1978): 粘性流體の力学. 理工學社, 155-160.
12. 森山文雄・山崎隆介(1981): プロペラ後流中おかけられた船に働く力について. 西部造船學會報, 第62號, 23-40.